

Rapport hebdomadaire – McGill

Semaine du 20 mars 2023

Charles-Édouard Lizotte

24/03/2023

Contents

1	DONE Transformer le <i>slab model</i> en modèle <i>shallow water</i> multicouches [3/3]	1
1.1	Cadre théorique : Retrouver les variations des interfaces $\eta(k)$	1
1.2	Cadre théorique : Vorticité quasi-géostrophique	2
1.2.1	Retrouver la QGPV à partir de la vorticité relative	2
1.2.2	Généralisation de la QGPV à un modèle à plusieurs couches	3
1.2.3	Gravité réduite	3
1.3	DONE Modifier le schéma numérique pour retrouver les $\eta(k)$	3
1.4	DONE Modifier les sous-routines de diagnostics et d' <i>output</i> [3/3]	3
1.5	DONE Gestion des paramètres initiaux	4
2	Bibliographie	4

1 DONE Transformer le *slab model* en modèle *shallow water* multicouches [3/3]

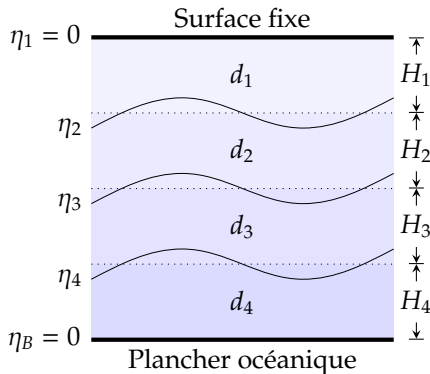
1.1 Cadre théorique : Retrouver les variations des interfaces $\eta(k)$

En premier lieu, en *shallow water*, l'équation de masse pour chaque couche k est donnée par

$$\frac{\partial}{\partial t} d_k = \nabla \cdot (d_k \mathbf{u}_k) \implies \Delta d_k = \Delta t [\nabla \cdot (d_k \mathbf{u}_k)]. \quad (1.1)$$

Dans notre modèle *shallow water*, on calcule directement la ligne précédente à l'intérieur de la routine *rhs.f90*, ce qui nous donne la quantité *rhs-eta(i,j,k)* (qui est en fait l'épaisseur). Après avoir calculé les *RHS*, faut donc retrouver les η_k à l'aide des d_k .

En commençant depuis la fin, l'algorithme pour retrouver les η_k à partir des épaisseurs d_k est donné par



$$(k=4) \quad d_4 = H_4 - \eta_B + \eta_4 \implies \eta_4 = \eta_B + (d_4 - H_4); \quad (1.2)$$

$$(k=3) \quad d_3 = H_3 - \eta_4 + \eta_3 \implies \eta_3 = \eta_4 + (d_3 - H_3); \quad (1.3)$$

$$(k=2) \quad d_2 = H_2 - \eta_3 + \eta_2 \implies \eta_2 = \eta_3 + (d_2 - H_2); \quad (1.4)$$

$$(k=1) \quad d_1 = H_1 - \eta_2 + \eta_1 \implies \eta_1 = \eta_2 + (d_1 - H_1) = 0. \quad (1.5)$$

Pour résumé, de manière générale, entre les couches 2 et $nk-1$,

$$\eta_k = \eta_{k+1} + (d_k - H_k). \quad (1.6)$$

On peut donc toujours prendre la dernières couches et reconstruire les autres η_{k+1} . Numériquement, il suffit d'enregistrer le champs scalaire η_{k+1} et de l'appliquer à l'itération suivante de la couche. Cette technique

Figure 1: Illustration d'un modèle *shallow water* à quatre couches ($n_k = 4$).

est employé par toutes les sous-routines qui font usage de la *thickness* une fois les *RHS-eta* trouvés.

Mentionnons qu'on regarde les *RHS* des équations du mouvement, soit les dérivées temporelles des quantités h et η . En ordre décroissant, il est donc possible de créer une méthode itérative qui appelle le *RHS* du *eta* couche inférieure ($nk + 1$) à l'aide de la dérivée de l'équation 1.6, soit

$$\begin{aligned} (k = nz) \quad & \Delta\eta_{nz} = \Delta h_{nz} ; \\ (k = k) \quad & \Delta\eta_k = \Delta h_k + \Delta\eta_{k+1} ; \\ (k = 1) \quad & \Delta\eta_1 = \Delta h_1 + \Delta\eta_2. \end{aligned} \quad (1.7)$$

N.B. Cette technique a ses limites, si l'on a beaucoup de couches on commence à accumuler de l'erreur numérique à chaque itération en k . Pour solutionner ce problème, on utiliserait une méthode d'algèbre linéaire matricielle, mais ça ne devrait pas être très grave si on a peu de couches, selon David.

1.2 Cadre théorique : Vorticité quasi-géostrophique

1.2.1 Retrouver la QGPV à partir de la vorticité relative

Dans le système en eau peu profonde, la vorticité potentielle Q_k est une quantité conservée, de sorte que

$$(SWPV) \quad \frac{dQ}{dt} = \frac{d}{dt} \left(\frac{\zeta + f}{h} \right) = 0. \quad (1.8)$$

Pour retrouver la vorticité potentielle quasi-géostrophique en eau peu profonde (SWQGPV), on applique les trois approximations quasi-géostrophiques (K. Vallis, Goeffrey, 2006, p184), soient

- (1) Les variations de l'épaisseur h sont minces;
- (2) Le nombre de Rossby est petit;
- (3) Les variations du paramètre de Coriolis sont faibles

Par conséquent, avec (1),

$$Q_k = \frac{\zeta_k + f}{H_k + h'_k} = \frac{\zeta_k + f}{H_k} \left(\frac{1}{1 + h'_k/H_k} \right) \approx \frac{\zeta_k + f}{H_k} \left(1 + \frac{h'_k}{H_k} \right). \quad (1.9)$$

Avec (2),

$$Q_k \approx \frac{1}{H_k} \left(f + \zeta_k - f \frac{h'_k}{H_k} \right). \quad (1.10)$$

Avec (3),

$$Q_k \approx \frac{1}{H_k} \left(f + \zeta_k - f_o \frac{h'_k}{H_k} \right). \quad (1.11)$$

Cette nouvelle quantité q_k s'appelle la **vorticité potentielle quasi-géostrophique** (QGPV) et est conservée sur le domaine. Soit,

$$q_k \equiv \left(\beta y + \zeta_k - f_o \frac{h'_k}{H_k} \right) \quad \text{où} \quad \zeta_k = \nabla^2 \psi_k. \quad (1.12)$$

La variation de l'interface entre deux couches η'_k peut toujours être exprimée par un ratio des fonctions de courant qui l'entourent (ψ_k et ψ_{k-1}), de sorte que

$$\psi_1 = \frac{g}{f_0} \eta_1; \quad \eta'_k = \frac{f_o}{g'_k} (\psi_k - \psi_{k-1}); \quad \mathbf{u} = \hat{\mathbf{k}} \times \nabla \psi. \quad (1.13)$$

1.2.2 Généralisation de la QGPV à un modèle à plusieurs couches

Après quelque substitutions algébriques, on parviendra ainsi à une équation générique de la vorticit  potentielle quasi-g ostrophique en eau peu profonde pour un mod le   plusieurs couches,

$$h'_k = H_k + \eta'_k - \eta'_{k+1}, \quad (1.14)$$

$$= H_k + \frac{f_0}{g'_k}(\psi_k - \psi_{k-1}) - \frac{f_0}{g'_{k+1}}(\psi_{k+1} - \psi_k), \quad (1.15)$$

Cons quemment, si le terme $(H_k/H_k)f_0^2 \rightarrow 0$,

$$q_k = \beta y + \nabla^2 \psi_k + \frac{f_0^2}{H_k} \left(\frac{\psi_{k-1} - \psi_k}{g'_k} - \frac{\psi_k - \psi_{k+1}}{g'_{k+1}} \right) \quad \text{o } \quad g'_k = g \frac{\rho_k - \rho_{k-1}}{\rho_1}. \quad (1.16)$$

N.B. 1) Notre r sultat est diff rent de celui exprim  dans le (K. Vallis, Goeffrey, 2006, p.185)   ce qui attrait aux gravit s r duites car nous d finissons η_k comme la «plafond» d'une couche k et non son «plancher».

N.B. 2) La formulation 1.12 est toujours valides, car c'est la d finition de la QGPV   plusieurs couches. Une version diff rente existe en milieu continu, mais nous y reviendrons dans les prochains rapports. Bref, restons avec cette formulation,  a nous emp chera de se tromper avec les gravit s r duites.

1.2.3 Gravit  r duite

Pour donner un argument, toujours en se fiant au Vallis, notre formulation de la gravit s r duites g'_i d coule du fait que la pression s'additionne   chaque couche, de sorte que

$$p_k = \underbrace{\rho_1 g \eta_1}_{m=1, \rho_0=0} + \rho_1 \sum_{m=2}^k \underbrace{\left(\frac{\rho_m - \rho_{m-1}}{\rho_1} g \right)}_{g'_k} \eta_m \quad \text{o } \quad \eta_{nz} = \eta_B = 0, \quad (1.17)$$

lorsque η_k est d fini comme le «plafond» d'une couche k . Pour une surface fixe, η_1 est tout simplement nulle et on rajoute un gradient de pression dans les  quations du mouvement.

1.3 **DONE** Modifier le sch ma num rique pour retrouver les $\eta(k)$

Il existe un peu une incertitude entre *eta* et *thickness*, les deux variables s'interchangent lorsqu'on travaille   plus de deux couches et j'ai un peu de difficult    comprendre  a. Il va donc falloir d m ler toute cette information-l . En premier lieu, nous avons d sormais un vecteur $H(k)$ qui d crit les  paisseurs moyennes de chaque couches (On l'avait d j , mais on va vraiment s'en servir) Nous n'avons pas vraiment de variable g n rique qui d crit l' paisseur r elle, nous allons donc cr er une variable g n rique pour l' paisseur $d-k$, car *thickness* est g n ralement calcul e *on the spot* dans chaque sous-routine. Ensuite, en suivant le sch ma d crit dans les sections pr c dentes, on va pouvoir retrouver les $\eta-k$   l'aide des $d-k$.

N.B. Finalement, apr s inspection du code, j'ai abandonn  l'id e d'avoir un *thickness* pr d fini   la grandeur du code, on va rester avec $\eta-k$ et calculer *thickness on the spot*. Faut juste changer le nom de la variable *RHS-eta* qui d finit plut t *RHS-thickness*.

1.4 **DONE** Modifier les sous-routines de diagnostiques et d'*output* [3/3]

Toutes les routines de diagnostiques ont  t  cr  es pour 2 couches uniquement, il faudrait donc modifier les **do loop** qui contiennent des k et nz . Pour l'essentiel, il faut modifier les fichiers :

- ▣ *div-vort.f90* : Les variables *zeta* et *div* pourraient  tre g n riques au fil du code et contenir nz couches. Avant, nous avons *div1*, *div2*, *zeta1* et *zeta2* avec la forme $(0 : nnx, 0 : nny)$ quand on aurait pu seulement avoir *div*($0 : nnx, 0 : nny, nz$) et *zeta*($0 : nnx, 0 : nny, nz$). Mais j'ai plut t d cid  de modifier *div-vort.f90* (la sous-routine qui calcule ces quantit s). *div-vort.f90* est devenu une routine locale qui calcule *zeta* et *div on the spot* et j'ai supprim  les variables *zeta1*, etc. J'ai v rifi  que  a fonctionnait dans tous les sous-routines o  on appelait ces deux quantit s :

- ☒ *main.f90* : Principalement changer la taille des variables et retirer les variables désuètes :
- ☒ *initialize.f90* : IDEM.
- ☒ *dump-spc.f90* : Sous-routine éliminée car elle réalisait la même tâche que *dump-bin.f90* et n'était pas appelée par aucune routine.
- ☒ *div-vort.f90* : Finalement, après cette inspection, on voit que la sous-routine *div-vort.f90* ne sert pas à grand chose, car on calcule toujours *zeta* et *div on the spot* pour un *k* définit.
- ☒ *diags.f90* :
 - ☒ On a le même problème que dans le *main.f90* parce qu'on retrouve la *thickness* à l'aide des η_K et c'est vraiment pas clair si la variable *eta* ici est une épaisseur ou une variation à partir de l'interface. EDIT : Après avoir re-vérifié, tout semble bon. De manière générale, on peut retrouver la *thickness* parce que les diagnostics sont produits après que le *RHS* ait été appliqué sur *eta*.
 - ☒ Aussi, il faudrait régler le problème des mode barotropes et baroclines (Mis en dépôt car j'ai besoin d'aide pour ça, la matrice que LP m'a envoyée, c'est pas clair). En attendant, la *do loop* des *nz* s'arrête à *nz = 2*, de sorte que les quantités précédentes soient toujours calculées, sans rien briser.
- ☒ *dump-bin.f90* : On utilisait précédemment les variables *zeta1*, *div1*, *zeta2* et *div2*. C'est terminé, on appelle maintenant la sous-routine *div-vort.f90* à l'intérieur d'un *k-loop*. La sous-routine *div-vort.f90* a aussi été retirée du programme *main.f90* à cause de son changement de nature. Il a fallu modifier les variables *out* aussi dans *initialize.f90* et *main.f90*.

1.5 DONE Gestion des paramètres initiaux

Faut gossier un peu dans la fonction *initialisation.f90* pour avoir un *H(k)* et un *gprime(k)* qui fonctionnent. Maintenant, *gprime(k)* est définit en fonction d'un vecteur *rho(k)*. Tout va être relié dans le fichier de paramètres.

2 Bibliographie

K. Vallis, Goeffrey (2006). *Atmospheric and Oceanic Fluid Dynamic : Fundamentals and Large-scale Circulation*, Cambridge University Press.